

# GAMES 301 Lab 2

Komeiji Green

November 7, 2022

## Contents

<b>1</b>	<b>作业内容</b>	<b>2</b>
<b>2</b>	<b>如何运行</b>	<b>2</b>
<b>3</b>	<b>算法介绍</b>	<b>2</b>
3.1	Projected Newton Method . . . . .	2
3.2	Line Search . . . . .	4
3.2.1	无翻转条件 . . . . .	4
3.2.2	Wolfe 条件 . . . . .	4
3.3	Analytic Eigen System . . . . .	5
<b>4</b>	<b>实验</b>	<b>7</b>
4.1	Proj. Newton 的运行结果 . . . . .	7
4.2	SLIM 与 Proj. Newton 的对比 . . . . .	7
4.3	Hilbert Curve . . . . .	9

## 1 作业内容

### Analytic Eigensystems for Isotropic Distortion Energies

利用论文 [1] 中所描述的 Symmetric Dirichlet 能量的解析求法，实现了用于初始无翻转离散网格参数化的 Analytic Projected Newton 方法。

### 实验：观察 Newton 方法二阶收敛性

本作业还实现了经典的一阶方法 SLIM[2]，并将其与上述二阶方法进行对比实验，可以观察到 Newton 方法所具备的二阶收敛性。

### 压力测试：Hilbert Curve

综合 SLIM 与 Analytic Proj. Newton 方法，在 Hilbert Curve 模型上进行算法压力测试。

## 2 如何运行

在 MATLAB R2021b 或更新版本上直接运行 demo-xxx 脚本即可，注意要将文件夹 io, mesh, src, utils 加入路径。

## 3 算法介绍

本节主要涉及一些算法的原理性介绍以及一些我个人的理解。3.1 概述 Proj. Method 方法，3.2 和 3.3 介绍其部分内容的细节。

### 3.1 Projected Newton Method

Newton 法的主要思想是，利用目标函数  $f$  在  $\mathbf{x}$  处的梯度与 Hessian 矩阵，来得到目标函数在  $\mathbf{x}$  附近的一个二次近似。

在 Line Search 的框架下，Newton 法通过最小化二次近似函数，来获得一个线搜索的方向  $\mathbf{d}$ ，并沿此方向寻找到下一个可行解  $\mathbf{x} + \alpha \mathbf{d}$ ，牛顿法具有二次收敛性，其收敛所需的迭代次数通常远小于梯度下降等一阶方法。

然而， $f$  的 Hessian 矩阵有可能不是正定的，这可能导致二次近似的极值无法求解，或者线搜索的方向并不是  $f$  的下降方向。因此许多方法尝试修改 Hessian 矩阵，将其投影到一个与之相差足够小的半正定矩阵上，也就是本文的 Proj. Newton 方法。

在参数化中, Hessian 的结构与曲面相关, 我们可以将其分解为:

$$\mathbf{H} = \mathbf{D}^\top * \mathbf{H}_J * \mathbf{D},$$

其中  $\mathbf{D} \in \mathbb{R}^{4f \times 2n}$  是 Deform Gradient 算子,  $\mathbf{H}_J \in \mathbb{R}^{4f \times 4f}$  是一个分块对角矩阵, 它的每一块代表一个面元, 表示能量相对于该面元的 Jacobian 的 Hessian 矩阵。算子  $D$  将能量相对于点坐标的 Hessian 映射为相对于面元上 Jacobian 的 Hessian。

在这种分解下, 只需将  $\mathbf{H}_J$  的每一块都投影为半正定矩阵, 也就完成了  $\mathbf{H}$  的半正定投影。

---

**ALGORITHM 1:** Projected Newton Pseudocode. Our approach allows `Eval_Energy_EigenSystem(U,  $\Sigma$ , V)` to be implemented in closed-form.

---

**Function** Projected\_Newton\_Solver( $\mathbf{x}_0$ )

```

for  $i \leftarrow 0$  to  $n$  do
     $\mathbf{b}_i \leftarrow \nabla \Psi(\mathbf{x}_i)$  // Equation (5a)
    if  $\|\mathbf{b}_i\|_\infty \leq 10^{-4}$  then
        return  $\mathbf{x}_i$ 
    end
     $\mathbf{H}_i \leftarrow \text{Project\_Hessian}(\mathbf{x}_i)$ 
     $\mathbf{d}_i \leftarrow -\mathbf{H}_i^{-1} \mathbf{b}_i$ 
     $\alpha_i \leftarrow \text{Line\_Search}(\mathbf{x}_i, \mathbf{d}_i)$ 
     $\mathbf{x}_{i+1} \leftarrow \mathbf{x}_i + \alpha_i \mathbf{d}_i$ 
end
return  $\mathbf{x}_{n+1}$ 

Function Project_Hessian( $\mathbf{x}$ )
     $\mathbf{H} \leftarrow \mathbf{0}$ 
    for every quadrature point  $q$  do
         $\mathbf{F} \leftarrow \text{Compute\_Deformation\_Gradient}(q, \mathbf{x})$ 
         $\mathbf{f} \leftarrow \text{vec}(\mathbf{F})$ 
         $\{\mathbf{U}, \Sigma, \mathbf{V}\} \leftarrow \text{Compute\_SVD}(\mathbf{F})$ 
         $\{\lambda_i, \mathbf{e}_i\} \leftarrow \text{Eval\_Energy\_EigenSystem}(\mathbf{U}, \Sigma, \mathbf{V})$ 
         $\mathbf{H}_q \leftarrow \sum_i \max(\lambda_i, 0) \mathbf{e}_i \mathbf{e}_i^\top$ 
         $\mathbf{H} \leftarrow \mathbf{H} + |q| (\partial \mathbf{f} / \partial \mathbf{x})^\top \mathbf{H}_q (\partial \mathbf{f} / \partial \mathbf{x})$  // Equation (5b)
    end
return  $\mathbf{H}$ 

```

---

Figure 1: Projected Newton Method 主体流程

## 3.2 Line Search

### 3.2.1 无翻转条件

为了保证参数化结果是无翻转的, Line Search 的步长不能使任何一个三角形发生翻转。为此, 对每一个三角形, 我们寻找使其发生退化的最小的  $\alpha$ , 也就是该三角形发生翻转的临界值, 取所有临界值的最小值作为 Line Search 步长的上界, 即可保证无翻转的要求。

注意, SD 能量的作用是使算法更倾向于在无翻转的方向上进行 Line Search, 但仅仅依赖 SD 函数无法严格保证无翻转。虽然 SD 能量在三角形发生退化时会趋于无穷, 但是 Line Search 的过程只考虑了搜索方向上的一些离散点, 难免跳过 SD 函数的障碍, 因此要通过上述方法来硬性地限制翻转的发生。

### 3.2.2 Wolfe 条件

可以通过如下算法来寻找满足 Wolfe 条件的步长, 以使得能量函数充分下降。其中, 我们设初值  $\alpha_{min} = 0$ ,  $\alpha_{max}$  小于发生翻转的临界值。

输入的  $\phi$  是一个关于  $\alpha$  的一维函数, 在算法的过程中, 只需在部分点上对其求值。

---

**Algorithm 2:** 寻找 Wolfe 条件的二分算法

---

**Input:**  $\phi(\alpha) = \mathbf{x} + \alpha \mathbf{d}$ ,  $\alpha_{min}$ ,  $\alpha_{max}$

**Output:**  $\alpha_*$

**for**  $j \leftarrow 1 : N$  **do**

$\alpha_j = \frac{\alpha_{min} + \alpha_{max}}{2}$ ;

**if**  $\phi(\alpha_j) > \phi(0) + c_1 \alpha_j \phi'(0)$  **then**

$\alpha_{max} \leftarrow \alpha_j$ ;

**else**

**if**  $|\phi'(\alpha_j)| < c_2 |\phi'(0)|$  **then**

**return**  $\alpha_j$ ;

**else if**  $\phi'(\alpha_j) < 0$  **then**

$\alpha_{min} \leftarrow \alpha_j$ ;

/\* Make it bigger \*/

**else**

$\alpha_{max} \leftarrow \alpha_j$ ;

/\* Make it smaller \*/

**end**

**end**

**end**

---

根据 Numerical Optimization 第三章中的引理 3.1 [3], 当算法 2 的迭代次数  $N$  充分大时, 我们一定可以找到一个  $\alpha$  满足 Strong Wolfe 条件, 即:

$$\phi(\alpha) < \phi(0) + c_1 * \phi'(0) * \alpha; \quad (1)$$

$$|\phi'(\alpha)| < c_2 * |\phi'(0)| \quad (2)$$

超参数  $c_1, c_2$  通常要满足:  $0 < c_1 < c_2 < 1$ , 作业中我通常选取  $c_1 = 10^{-5}, c_2 = 0.99$

### 3.3 Analytic Eigen System

论文作者 Smith 在 18、19 年的 TOG 文章上似乎都没有明确指出一些性质, 我认为它们对于理解整个文章还是很有帮助的:

**Lemma 3.1.** 设  $\Psi: \mathbb{R}^{n \times n} \rightarrow \mathbb{R}$  是某个旋转不变函数, 即对任意正交矩阵  $\mathbf{U}, \mathbf{V}$ , 有  $\Psi(\mathbf{U}\mathbf{A}\mathbf{V}^\top) = \Psi(\mathbf{A})$ . 考虑 *svd* 分解  $\mathbf{A} = \mathbf{U}\mathbf{S}\mathbf{V}^\top$ , 若矩阵  $\Sigma$  是 4-th tensor  $\nabla^2\Psi(\mathbf{S})$  的 *eigen-matrix*, 则  $\mathbf{U}\Sigma\mathbf{V}^\top$  也是  $\nabla^2\Psi(\mathbf{A})$  的 *eigen-matrix*.

这条引理告诉我们, 要求解  $\nabla^2\Psi(\mathbf{A})$  的 eigen-system, 只需求解  $\nabla^2\Psi(\mathbf{S})$  的 eigen-system, 而  $\mathbf{S}$  是一个由奇异值组成的对角矩阵, 此时的 Hessian 的特征向量较易解出.

我们先证明引理 3.1, 再用它给出论文 [1] 4.2 节中 Eigensystem of  $I_1$  的推导.

*Proof.* 考虑  $\nabla\Psi$  的方向导数:

$$d[\nabla\Psi]_{\mathbf{A}}(\mathbf{X}) := \lim_{t \rightarrow 0} \frac{\nabla\Psi(\mathbf{A} + t\mathbf{X}) - \nabla\Psi(\mathbf{A})}{t}$$

考虑梯度与方向导数的关系, 可以证明:  $\nabla^2\Psi(\mathbf{A}) : \mathbf{X} = d[\nabla\Psi]_{\mathbf{A}}(\mathbf{X})$ .

根据 SLIM [2] 中的 Lemma 3.1, 可以推出,  $\nabla\Psi(\mathbf{U}\mathbf{A}\mathbf{V}^\top) = \mathbf{U}\nabla\Psi(\mathbf{A})\mathbf{V}^\top$ , 于是:

$$\begin{aligned} \nabla^2\Psi(\mathbf{A}) : (\mathbf{U}\Sigma\mathbf{V}^\top) &= d[\nabla\Psi]_{\mathbf{A}}(\mathbf{U}\Sigma\mathbf{V}^\top) \\ &= \lim_{t \rightarrow 0} \frac{\nabla\Psi(\mathbf{A} + t\mathbf{U}\Sigma\mathbf{V}^\top) - \nabla\Psi(\mathbf{A})}{t} \\ &= \lim_{t \rightarrow 0} \frac{\mathbf{U} [\nabla\Psi(\mathbf{S} + t\Sigma) - \nabla\Psi(\mathbf{S})] \mathbf{V}^\top}{t} \\ &= \mathbf{U} * d[\nabla\Psi]_{\mathbf{S}}(\Sigma) * \mathbf{V}^\top \\ &= \mathbf{U} * [\nabla^2\Psi(\mathbf{S}) : \Sigma] * \mathbf{V}^\top \\ &= \lambda\mathbf{U}\Sigma\mathbf{V}^\top \end{aligned}$$

这样,  $\mathbf{U}\Sigma\mathbf{V}^\top$  不仅是 eigen-matrix, 还与  $\Sigma$  具有相同的特征值。 □

把 Hessian 的特征向量与方向导数联系起来, 后续的证明也会沿用这种思路.

**Eigensystem of  $I_1$** 

对于矩阵  $\mathbf{J}$ ，记它的奇异值的和为  $I_1$ ，根据 [1] 中的结论， $\nabla_{\mathbf{J}} I_1(\mathbf{J}) = \mathbf{U}\mathbf{V}^\top$ ，其中  $\mathbf{U}, \mathbf{V}$  是  $\mathbf{J}$  做奇异值分解后得到的旋转矩阵。注意到  $\nabla I_1$  始终是一个正交矩阵。

我们知道，对于一个随时间  $t$  而连续变化的正交矩阵  $\mathbf{P}_t$ ，有  $\mathbf{P}_t' = \Omega_t * \mathbf{P}_t$ ，其中  $\Omega_t$  是一个反对称矩阵。在二维情形下，它表示逆时针旋转 90 度，在三维情形，它表示一个叉乘。

那么考虑  $I_1$  在  $\mathbf{S}$  处沿 eigen-matrix  $\Sigma$  的方向导数，必有：

$$d[\nabla I_1]_{\mathbf{S}}(\Sigma) = \Omega * \mathbf{I} = \lambda \Sigma,$$

其中  $\mathbf{I}$  是单位矩阵， $\Omega$  是一个反对称矩阵。此式说明特征矩阵  $\Sigma$  也是反对称的。

**In 2D**

对于 2 维情形，由上述结论可以立刻推出， $I_1$  的 Hessian tensor 有且仅有一个特征矩阵：

$$\Sigma_1 = \frac{1}{\sqrt{2}} \begin{bmatrix} 0 & -1 \\ 1 & 0 \end{bmatrix},$$

对于特征值的求解，可以将  $\Sigma_1$  代入方向导数，并利用公式  $I_1 = \sqrt{\|\mathbf{J}\|_F^2 + 2 \det \mathbf{J}}$  算出，最终结果  $\lambda = \frac{2}{\sigma_1 + \sigma_2}$ 。

**In k-D**

对于  $k$  维情形，很容易将问题化归为 2 维情形。我们考虑最基本的反对称矩阵，比如：将  $\Sigma_1$  放在左上角，置其余元素为 0。用这样的矩阵对  $\mathbf{S}$  进行扰动后，经 svd 分解后得到的旋转矩阵  $\mathbf{U}, \mathbf{V}$  只会在前两行与前两列发生改变，所以这本质上仍然是一个 2 维的问题。

因此，不难给出所有的特征矩阵：

$$\Sigma_{ij} = \begin{matrix} & \cdots & i & \cdots & j & \cdots \\ \vdots & \ddots & & \cdots & & \\ i & & 0 & \cdots & (-1)^{j-i} & \\ \vdots & \vdots & \vdots & \ddots & \vdots & \vdots \\ j & & (-1)^{i-j} & \cdots & 0 & \\ \vdots & & & \cdots & & \cdots \end{matrix}$$

每一个特征矩阵都表示在  $\mathbf{e}_i$  与  $\mathbf{e}_j$  所张成的子平面上的旋转。

## 4 实验

### 4.1 Proj. Newton 的运行结果

在 cow 模型上运行 Proj. Newton Method, 53 步后达到收敛。Newton Method 总用时 2.6s, 平均每步迭代用时 0.05s

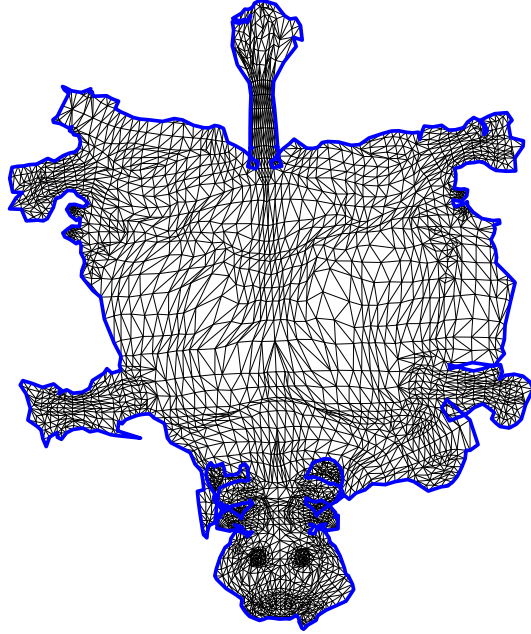
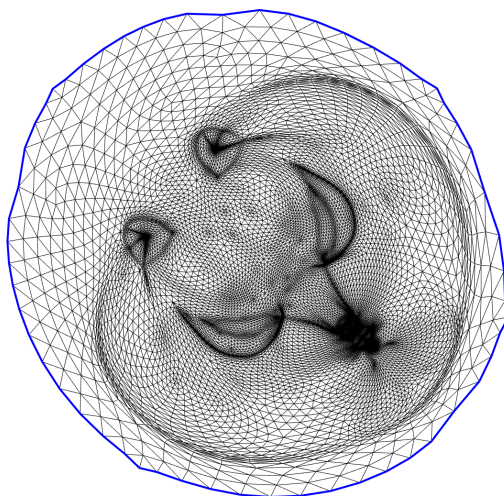


Figure 2: Proj. Newton Method 在 cow 上的运行结果

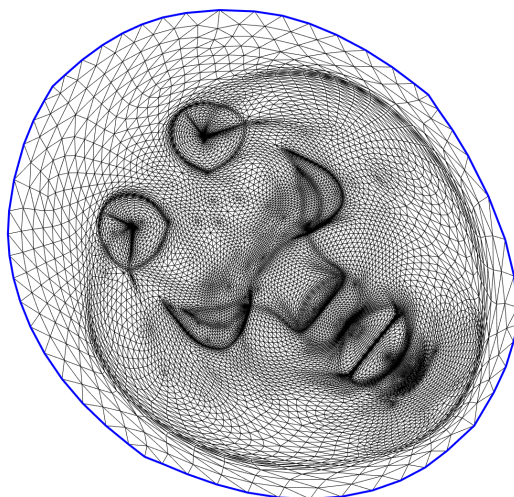
### 4.2 SLIM 与 Proj. Newton 的对比

我们在 camelhead 上对比 SLIM 与 Proj. Newton 方法, 以 cotangent Laplacian 权重的 tutte 参数化为初始值, 以梯度的无穷范数小于  $10^{-4}$  为收敛条件, Proj. Newton 方法在 24 步后就达到收敛, 而 SLIM 方法需要 500 步左右才能收敛, 符合原文附加材料中的实验结果。

由图 3, SLIM 在迭代的初期可以使能量迅速下降, 但后期的收敛速度比较慢, 而 Newton 法在初期能量的下降速度较 SLIM 缓慢, 但最终收敛得更快。



(a) Newton, energy=63.5



(b) SLIM, energy=9.7

Figure 3: Newton 与 SLIM 在 5 步迭代后的结果对比



### 4.3 Hilbert Curve

我们在 Hilbert Curve 上进行迭代优化的参数化，参考 [2] 中的实验，初始使用 cotangent Laplacian weighted tutte 参数化，并进行 1 步 Newton 迭代，再进行 20 次 SLIM 迭代，最后经过 280 次 Proj. Newton 迭代达到收敛。

如图 5 所示的结果，SLIM 倾向于将 Hilbert 曲线从初始的圆盘状态 (Tutte 参数化) 拉平为一个长线条，从而使能量迅速下降，后续的 Newton 方法则倾向于将这个长线条卷曲起来，最终成为一个平面 Hilbert 曲线。

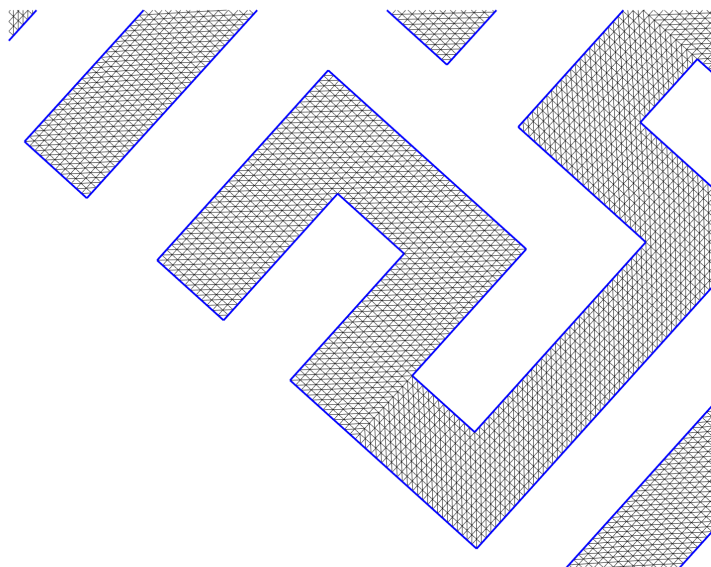


Figure 4: 图为 Hilbert Curve 参数化结果 (局部)，我们在迭代优化过程中验证了没有任何一个三角形发生翻转

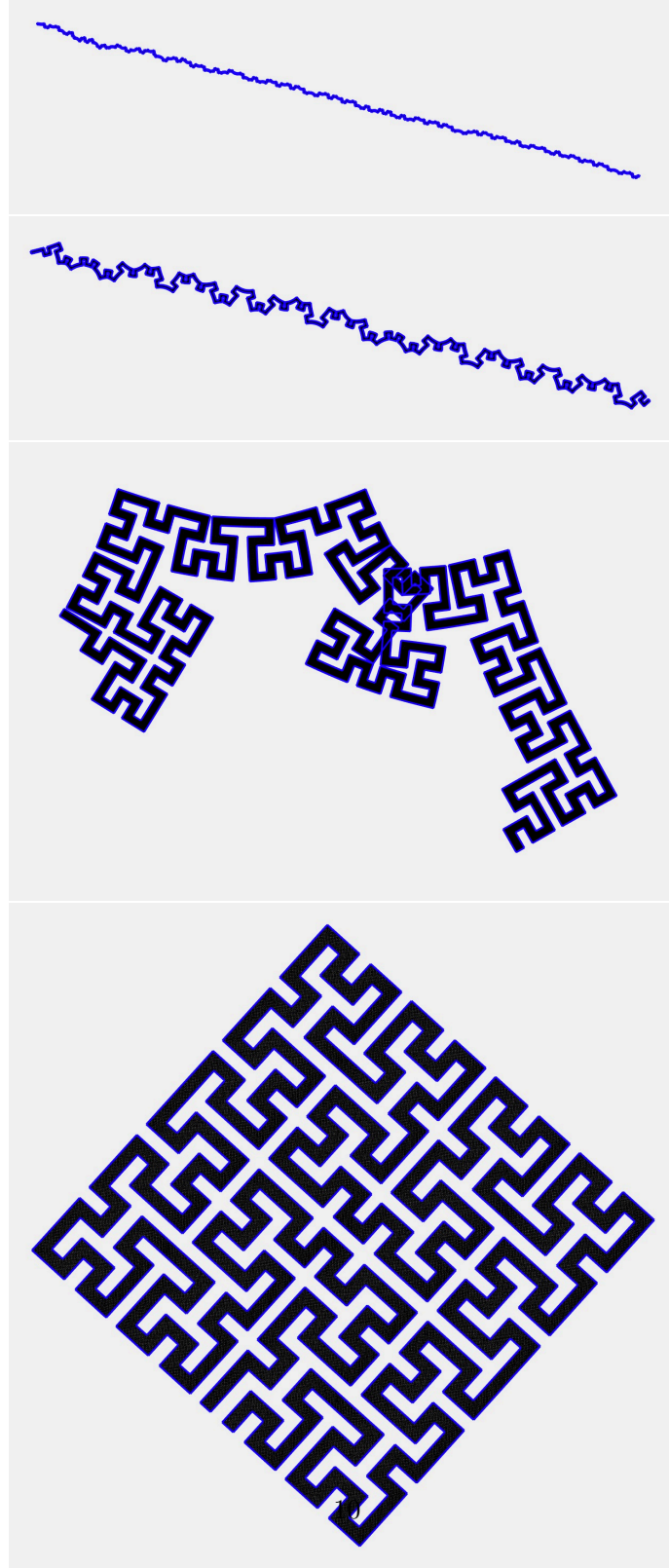


Figure 5: Hilbert Curve 的参数化过程，从上至下分别为进行 20 slim, 20 slim + 几步 newton, 20 slim + 120 newton, 20 slim + 260 newton 的结果

## References

- [1] Breannan Smith, Fernando De Goes, and Theodore Kim. Analytic eigensystems for isotropic distortion energies. *ACM Trans. Graph.*, 38(1), feb 2019.
- [2] Michael Rabinovich, Roi Poranne, Daniele Panozzo, and Olga Sorkine-Hornung. Scalable locally injective mappings. *ACM Trans. Graph.*, 36(2), apr 2017.
- [3] Jorge Nocedal and Stephen J. Wright. *Numerical Optimization*. Springer, New York, NY, USA, 2e edition, 2006.